

聚乙二醇/聚丙烯腈共混物的增容机理和蓄热储能性*

齐善威 郭 静 于春芳 牟思阳 杨利军

(大连工业大学 纺织与材料工程学院 大连 116034)

摘要 以丙烯腈(AN)和衣康酸(IA)共聚生成丙烯腈/衣康酸共聚物(P(AN-co-IA))为相容剂,用溶液共混法制备聚丙烯腈/聚乙二醇高分子固-固相变材料,用傅里叶变换红外光谱(FT-IR)、步冷曲线、差热分析(DSC)、X射线衍射(XRD)及偏光显微镜等手段对共混物进行表征,分析讨论了P(AN-co-IA)的增容机理和蓄热储能性。结果表明,P(AN-co-IA)对聚乙二醇/聚丙烯腈(PAN/PEG)共混体系具有良好的增容效果,共混材料的保温性能良好,具有较大的焓值,其相变温度和相变焓随着PEG含量的增加而提高,共混物呈现出“固-固”相变特性。在有限次的循环加热中相变温度及相变焓无明显变化,表明材料的蓄热耐久性良好。

关键词 有机高分子材料, 聚乙二醇, 聚丙烯腈, 增容机理, 相变材料

分类号 TB324

文章编号 1005-3093(2016)01-0068-07

Compatibilizing Mechanism and Thermal Energy Storage of Polyacrylonitrile/Polyethylene Glycol Blends

QI Shanwei GUO Jing** YU Chunfang MU Siyang YANG Lijun

(Dalian Polytechnic University, Dalian 116034, China)

*Supported by National Natural Science Foundation of China No.51373027.

Manuscript received January 6, 2015; in revised form March 2, 2015.

**To whom correspondence should be addressed, Tel: 13704091879, E-mail: guojing8161@163.com

ABSTRACT Polyethylene glycol (PEG)/ polyacrylonitrile (PAN) shape-stabilized phase-change materials were prepared by blending acrylonitrile (AN) with copolymer P (AN-co-IA) as compatibilizer, which was copolymerized with itaconic acid (IA) and acrylonitrile/itaconic acid. First the compatibilizing mechanism of P (AN-co-IA) was analyzed and discussed, then the chemical composition, thermal insulation properties, thermal properties and crystallinity of the blend materials were investigated by FT-IR, cooling curve, differential scanning calorimetry (DSC), XRD and polarizing microscope (POM). The results show that the blends exhibit excellent insulation properties and have a large enthalpy; the solid-solid phase transition temperature and enthalpy increased with the increasing content of PEG; after cyclic heating for a limited cycles, the phase transition temperature and enthalpy had no significant changes which implies a good durability of heat storage of the blends.

KEY WORDS organic polymer materials, polyethylene glycol, polyacrylonitrile, compatibilizing mechanism, phase transition material

相变材料(PCM)通过潜热吸收或释放能量,提高了能源的利用率^[1]。传统的PCM主要通过固-液相变进行储能和蓄热,在相变过程中液态渗漏问题不可避免^[2-3]。而在固-固相变材料相变过程中没有气体或液体产生,避免了固-液相变的缺点^[4]。其中高分子改性类固-固相变材料是较晚开发出来的材

料^[5-6],既有固-固相变的特征,又有高分子类材料的机械性能好、加工容易等特征^[7],是一种最有应用开发前途的新型功能材料,也是目前研究的热点^[8]。聚乙二醇(PEG)具有链结构较规整,易结晶,相变潜热高,化学稳定性好等特性^[9-11],是一种典型固-液相变物质,但在其相变过程中因发生泄漏而污染环境^[12-13]。为了避免相变材料的泄漏,本文用物理吸附法将PEG与刚性聚丙烯腈结合起来,使相变物质在发生相变时相变材料整体上保持形态稳定;为防止聚丙烯腈与PEG因热力学相容性差而导致分散相畴过大而产生

* 国家自然科学基金 51373027 资助项目。

2015年1月6日收到初稿;2015年3月2日收到修改稿。

本文联系人: 郭 静

DOI: 10.11901/1005.3093.2015.010

相变物质泄漏, 保证制备的相变材料具有形态稳定相变特征。本文从分子设计出发研制丙烯腈与衣康酸的无规共聚物 P(AN-co-IA), 并以其为相容剂用溶液共混法将 PEG 与 PAN 和 P(AN-co-IA) 进行共混, 制备形态稳定的“固-固”相变材料, 表征 P(AN-co-IA) 的结构、分析 P(AN-co-IA) 的增容机理, 考察相变材料热性能、结晶性、蓄热储能性及形态结构, 以促进相变材料的研究^[14]。

1 实验方法

1.1 实验用原料

聚丙烯腈 (PAN): Mn 为 120000; 聚乙二醇 (PEG), 分子量为 4000, 分析纯; 丙烯腈 (AN), 分析纯; 衣康酸 (IA), 分析纯; 过硫酸铵 ((NH₄)₂S₂O₈), 分析纯; N, N-二甲基甲酰胺, 分析纯。

1.2 丙烯腈与衣康酸的无规共聚物 P(AN-co-IA) 的合成

在装有冷凝管、搅拌器的 250 ml 三口烧瓶中依次加入计量好的丙烯腈、衣康酸、过硫酸铵、蒸馏水, 在一定温度下进行水相沉淀聚合反应。反应一定的时间后, 将反应获得的聚合物浆液用大量去离子水洗去残余单体, 经抽滤、干燥、研磨后, 得到白色粉末聚合物样品。

1.3 PAN/P(AN-co-IA)/PEG 共混物的制备

先将 PEG4000 放置于真空干燥箱中在 40℃ 下真空干燥 24 h 备用。然后按一定比例将 PAN、P(AN-co-IA) 及 PEG 加入 DMF 溶剂中混合, 在 60℃ 搅拌 4 h, 取混合溶液涂覆于玻璃板上室温风干, 制得共混物。共混物的质量构成列于表 1。

1.4 测试和表征

取少量样品粉末进行溴化钾压片, 用 Spectrum One-B 型傅里叶变换红外光谱仪记录红外吸收光谱图, 波数测试范围为: 4000–500 cm⁻¹。以步冷曲线表征样品的保温性能, 步冷曲线用 WS-TIIMPRO 型数字温度记录仪进行测试。测试过程为: 将样品粉末加入小试管中, 高度大约为小试管的五分之四, 插入探头后, 将试管进行水浴加热到 80℃, 恒温一定时间后, 取出试管立即放入冰水浴中, 用温度记录仪进

行测试, 每 5s 采点一次, 直至样品温度降为 5℃。用 DSC200F3 型差示扫描量热仪对样品进行差示扫描量热分析 (DSC) 测试, 升温速率为 10℃/min, 温度范围为 -20℃ 到 100℃ 到 -20℃, 氮气氛。热循环测试 6 次。用 D/max-3B 型 X 射线衍射仪测定试样粉末的 X 射线衍射图谱, Ni 滤波, Cu 靶, 管电压为 40 kV, 管电流为 30 mA, 扫描速度为 1°/min, 衍射角 2θ 为 5~40°。用 DM2500 型偏光显微镜对样品薄膜的结晶性能进行观察, 温度范围为 0℃–100℃。

2 结果和讨论

2.1 P(AN-co-IA) 的结构及增容机理

2.1.1 共聚物的结构 图 1 给出了所制备的共聚物的红外光谱图。从图 1 可以看出, 共聚物在 2243 cm⁻¹ 处有一个明显的吸收峰, 为 C≡N 基团的特征吸收峰, 表明共聚物中有 PAN 链段; 而在 1723 cm⁻¹ 附近有 C=O 的吸收峰, 对应 P(AN-co-IA) 分子链上的羧基基团, 即为 IA 中 C=O 的特征吸收峰, 同时说明共聚物 P(AN-co-IA) 已成功合成^[15]。

2.1.2 增容机理 图 2 给出了 P(AN-co-IA) 增容 PAN/PEG 的机理示意图。图中 P(AN-co-IA) 是带有极性的高分子材料, 其极性基团中 -COOH 基团有一部分与 PEG 中的 -O- 可以生成分子间氢键, 产生较强的相互作用, 另一部分或与 PEG 的端羟基 -OH 发生酯化反应, 从而结合在一起; 而 P(AN-co-IA) 又可以与基体 PAN 通过发生链缠结相互混容, 改善了两相之间的表面性质, 提高了相界面之间的粘合力, 使 PEG 均匀分散在 PAN 基体中, 进一步改善了 PAN 与 PEG 之间的相容性。因此可以说, P(AN-co-IA) 是 PAN/PEG 体系中有效的增容剂, 能有效控制共混物的相分离程度, 从而得到性能优异的 PAN/PEG 共混物材料。

2.2 共混物的 FTIR 分析

图 3 给出了 PEG、PAN 和共混物的红外光谱图。从图 3 可以看出, PAN 的红外光谱在 2938 cm⁻¹–2940 cm⁻¹ 和 1455 cm⁻¹ 为烷烃基 (-CH₂, -CH₃) 吸收峰, 在 2243 cm⁻¹ 处有一个明显的吸收峰, 此为 C≡N 基团的特征吸收峰; 在 PEG 的红外光谱中, 1105 cm⁻¹ 为

表 1 共混物的质量构成
Table 1 PAN/P(AN-co-IA)/PEG blends

Sample	1#	2#	3#	4#	5#	6#
Mass ratio of PEG/PAN	2.5:7.5	3:7	3.5:6.5	4:6	4.5:5.5	5:5
P(AN-co-IA)	3%	3%	3%	3%	3%	3%

PEG 中最强的谱带, 是 C-O 的伸缩振动峰, 2889 cm^{-1} 为 PEG 中 $-\text{CH}_2-$ 基团的伸缩振动峰, 962 cm^{-1} 为 PEG

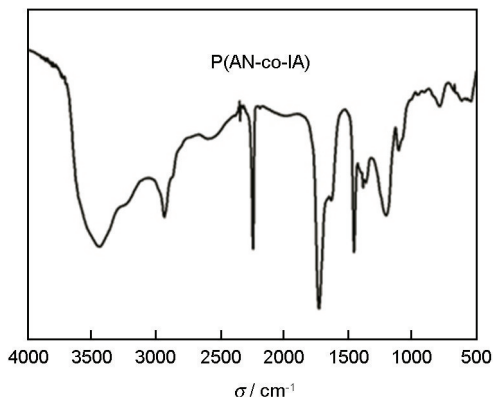


图1 共聚物 P(AN-co-IA) 的红外光谱图
Fig.1 FTIR spectra of P(AN-co-IA)

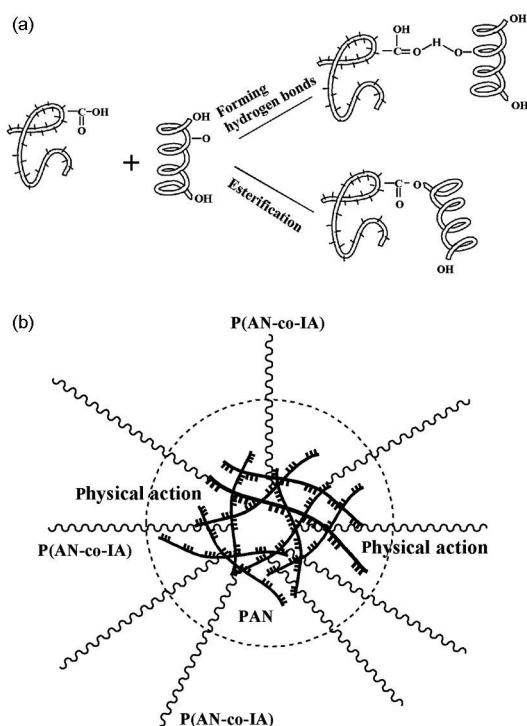


图2 P(AN-co-IA) 增容 PAN/PEG 的机理示意图
Fig.2 Compatibilizing Mechanism of P(AN-co-IA) on PAN/PEG blends

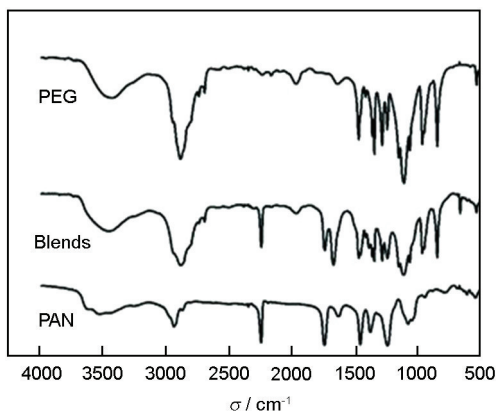


图3 PEG、PAN 和共混物的红外光谱图
Fig.3 FTIR spectra of PEG、PAN and blends

的振动峰, 842 cm^{-1} 为 PEG 中间位置 $-\text{CH}_2-$ 基团振动造成^[16]; 比较三条曲线可见, 共混物的 FTIR 谱图在 $1665/657\text{ cm}^{-1}$ 出现新的吸收峰。产生这种现象的原因, 可能是 PEG 中的 $-\text{OH}$ 与 P(AN-co-IA) 中的 $-\text{COOH}$ 发生酯交换反应产生酯基或形成氢键, 导致共混物的化学结构产生变化。这进一步验证了上述的增容机理。

2.3 共混物的保温性能

由图4可见, 共混材料的保温性能相比纯 PEG 有较大的下降, 保温平台变窄。这表明, PAN 的引入对 PEG 的结晶产生了影响, 不同程度地破坏了 PEG 结晶的完整性, 导致材料的保温性能下降; 5#样品的保温平台出现在 40°C 左右, 4#样品的保温平台出现在 35°C 左右, 3#样品的保温平台出现在 30°C 左右, PAN 含量越多, 出现保温平台的温度也就越低。其原因是, 随着 PAN 含量的增加对 PEG 结晶度影响越来越大, 导致其相变温度和相变焓不断降低。

而且对比图5a、b可以发现, 相比于 PEG 的固液相变, 共混物在升温 and 降温过程中其宏观物理形态并没有发生变化。这是因为, PEG 分子两端被氢键或分子间作用力束缚于刚性的 P(AN-co-IA) 及 PAN 的分子链上, PEG 熔融时 PAN 及共聚物能起到封装和支撑作用, 并且防止 PEG 溢出, 使整个共混物在相变过程中宏观形态保持固态。由此可以说明, 本文成功制得了形态稳定的“固-固”相变材料^[17]。

2.4 共混物的 DSC 分析

2.4.1 共混物的热物性 图6给出了共混物1#、4#、6#样品的 DSC 谱图, 各样品的热力学参数列于表2。由图6和表2可以看出, 结晶温度 T_c 和结晶焓 ΔH_m 随着共混物中 PEG 含量的增加而增加, 随着 PAN 含量的增加而降低; 而熔融温度 T_m 和熔融焓 ΔH_c 也随着共混物中 PEG 含量的增加而增加, 随 PAN 含量的增加而降低。引起这种现象的原因是多方面的: 首先, PAN 的分解温度很高, 在 PEG 结晶过

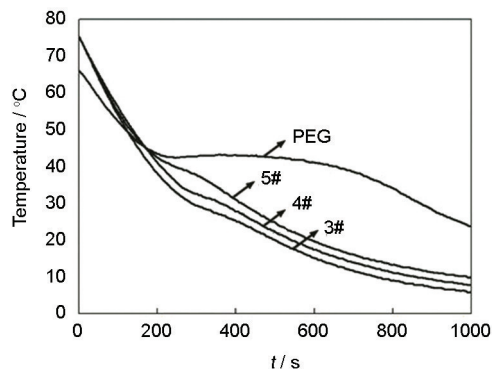


图4 PEG 和不同共混材料的冷却曲线
Fig.4 Cooling curve of the PEG and different blends

程中很稳定, 对材料的相变并没有作用。在 PEG 的结晶过程中, PAN 作为一种杂质存在使得结晶区内缺陷增加, 从而降低结晶度, 导致相变温度和相变焓的下降; 其次, PEG 与增容剂 P(AN-co-IA) 形成氢键或发生酯化反应相互作用, 导致 PEG 链端附近链节的位置被限定下来, 使 PEG 长链的自由运动受到了限制, 使其无法自由排列进入晶区, 也导致相变温度

和相变焓的降低; 此外, 几种样品的相变行为都是固-固相变, 改变了 PEG 固-液相变的性质; DSC 测试结果验证了此前步冷实验所得出的结论。从表 2 还可以发现, 4#、6# 的相变温度分别达到了 33.23℃、35.74℃, 已经很接近人体的温度, 具有较高的使用价值^[18]。其中 T_c 为结晶温度; ΔH_m 为结晶焓; T_m 为熔融温度; ΔH_c 为熔融焓

2.3.2 共混物的蓄热耐久性 选取 6# 样品做

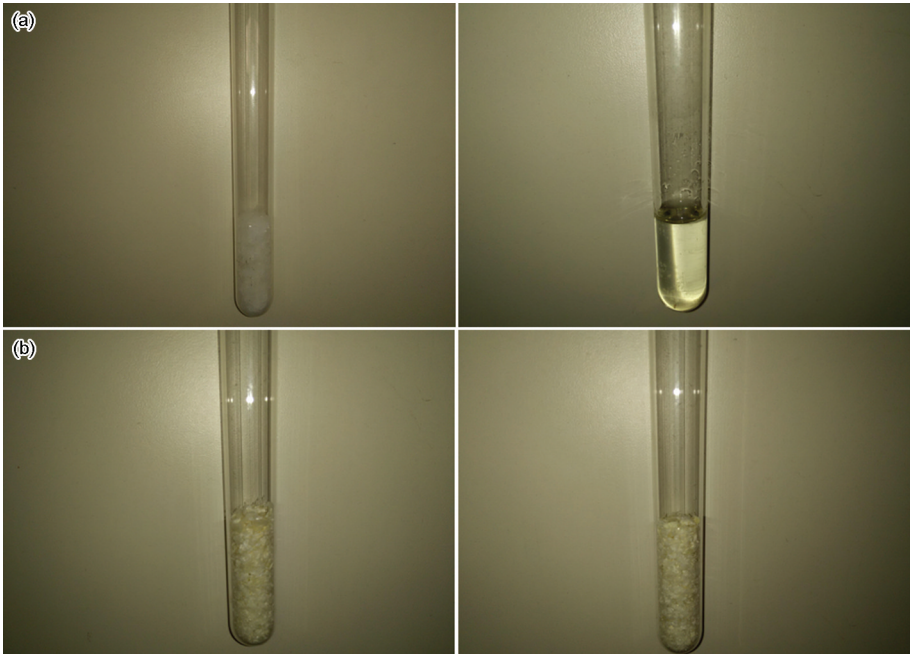


图 5 加热前和加热后 PEG 和 blends 的形貌比较

Fig.5 Morphological comparison chart of PEG and blends before heating and after heating (a) PEG, (b) blends

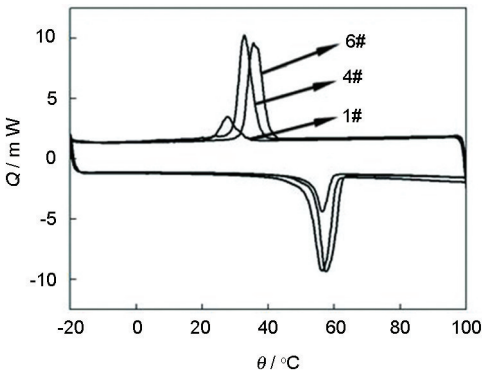


图 6 共混物 1#、4#、6# 样品的 DSC 谱图
Fig.6 DSC curves of 1#、4#、6 #blends

DSC 热循环测试, 结果如图 7 所示, 表 3 给出了其循环过程中的 DSC 各参数。从图 7 和表 3 可以看出, 经过第一次热循环中熔融峰的大小、面积存在较大变化。其原因是, 在第一次热循环过程中样品在玻璃化转变区域伴随有应力松弛, 在第一次升温循环后就可以消除热历史的影响。因此, 第一次热循环并不是共混物热性能的真实体现。在 2、3、4 的循环过程中可以发现, 不管是吸热还是放热过程, 结晶峰和熔融峰的位置、面积及相变焓值仅存在很小的变化, 基本上趋于稳定, 样品曲线没有产生分峰。这说明, 共混物在热循环过程中仍能保持稳定的形态, 无

表 2 各样品的热力学参数
Table 2 DSC parameters of 1#、4#、6# blends

Sample	T_c (°C)	ΔH_m (J/g)	T_m (°C)	ΔH_c (J/g)	Phase behavior
1#	27.58	19.51	56.21	14.33	solid-solid
4#	33.09	44.31	56.07	37.44	solid-solid
6#	35.74	64.23	57.24	57.87	solid-solid

泄露, 没有发生相分离, 热焓值、相变温度稳定, 表明蓄热耐久性优良。

2.5 共混物的XRD 分析

图8给出了PEG、PAN 及不同质量配比共混物的XRD 曲线。使用分峰软件对其分析的结果表明, PEG4000 在 2θ 为 19.22° 、 23.38° 处出现了很强的衍射峰, 分别对应 120 和 032 晶面; PAN 在 2θ 为 16.7° 和 29° 处出现了很强的衍射峰, 分别对应 010 和 300 晶面; 各共混物在同样位置出现了衍射峰, 说明共混过程对 PEG 的晶体结构没有明显的影响, 但是共混物中衍射峰的强度逐渐降低, 在不同质量配比的共混物中, 随着 PAN 含量的增加 120 和 032 处的衍射强度有逐渐减弱的趋势, 结晶能力逐渐降低, 尤其

PEG 的 120 晶面和 PAN 的 010 晶面变化更大, 说明这两个晶面受的影响更大。这是因为, 共混以后不论 PAN 还是 PEG 结晶能力都受到了一定的限制, 可能是 PAN 的加入在限制 PEG 分子链运动的同时自身分子链的运动也受到一定影响, 使 PEG 的结晶度遭到不同程度地破坏, 从而降低了结晶能力。因此, 在实际应用中要进行权衡配比。

2.6 共混物偏光显微镜分析

从图9可以看出, 各共混材料在降温的过程中均发生了明显的结晶, 当达到结晶温度时迅速结晶, 形成晶粒, 结晶温度在 35°C – 40°C 。对比 1#、2#、4#、6#样品结晶形态大小可以发现, 随着 PAN 含量的增加结晶随之变小; 在实验过程中还发现, 随着 PAN

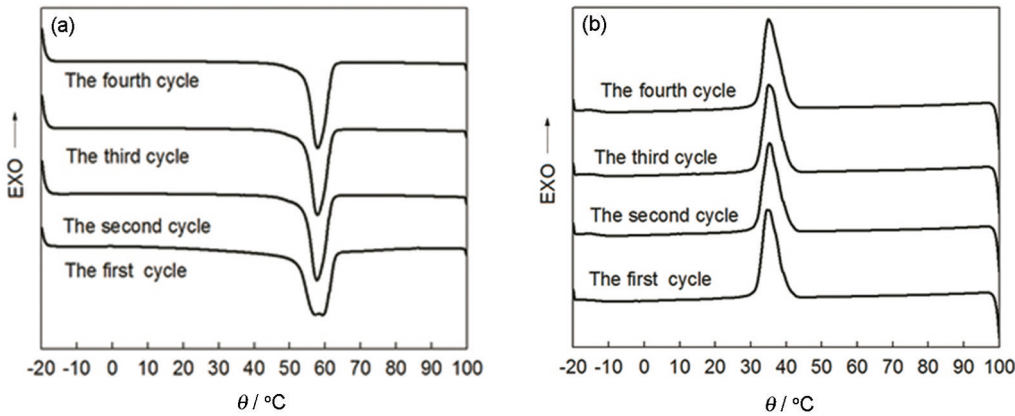


图7 6#样品的DSC 热循环曲线
Fig.7 DSC cycle curves of 6# blends

表3 6#样品在循环过程中的DSC 各参数
Table 3 DSC parameters of blend 6# in the process of circulation

Cycle index	$T_c(^{\circ}\text{C})$	$\Delta H_c(\text{J/g})$	$T_m(^{\circ}\text{C})$	$\Delta H_m(\text{J/g})$
1	34.56	46.84	57.03	57.85
2	35.53	45.58	57.59	52.63
3	35.36	46.55	57.76	52.63
4	35.20	46.26	57.59	52.90

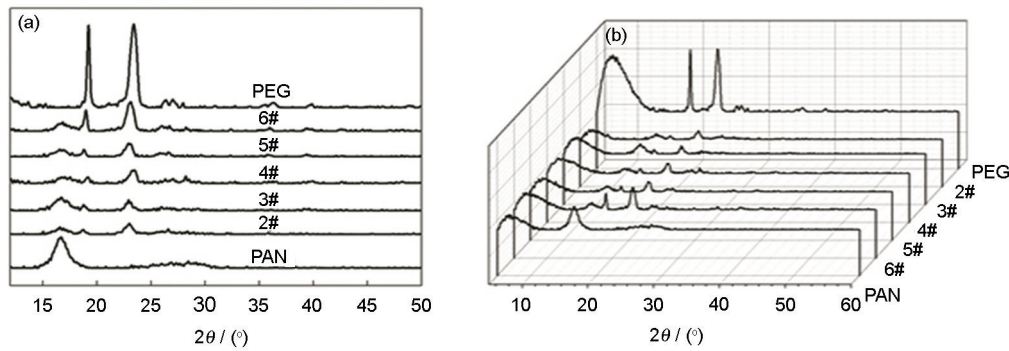


图8 PEG、PAN 及不同质量配比共混物的XRD 曲线
Fig.8 XRD of PEG、PAN and the different blends

含量的增加结晶温度降低, 且结晶能力降低; 另外, 在整个升降温过程中没有发现 PEG 溢出, 说明共混物在变温过程中形态一直保持稳定。这与前面步冷曲线, DSC 分析结果相吻合。

3 结 论

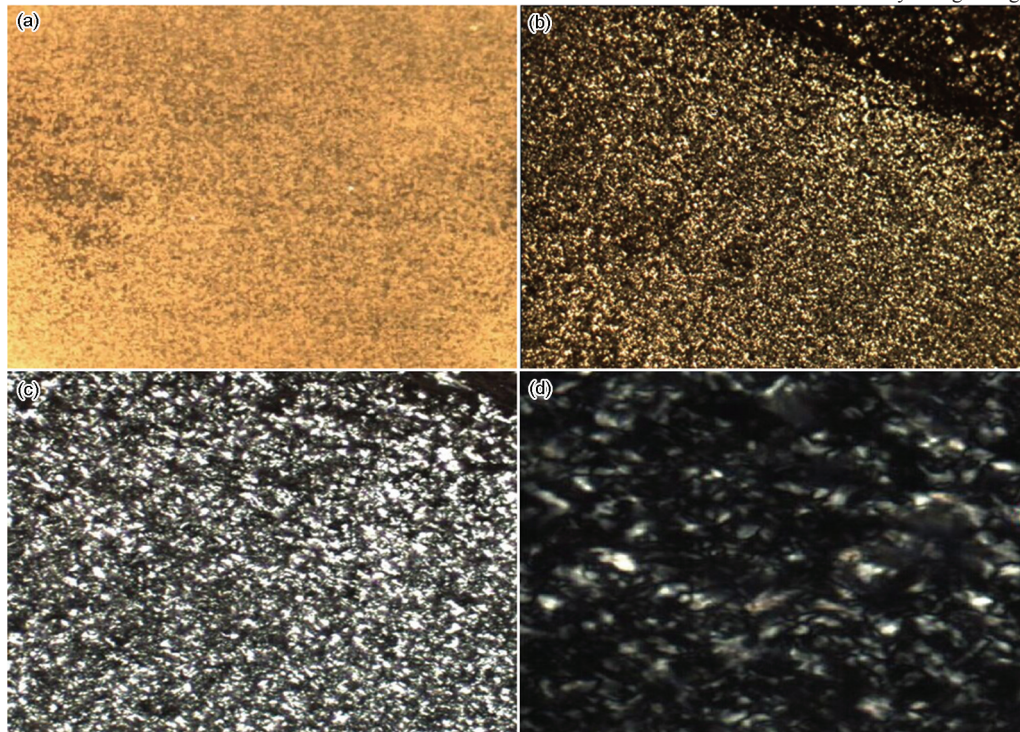


图9 1#、2#、4#、6#共混材料的Cool晶形态
Fig.9 Cool crystal morphology of 1#, 2#, 4#, 6# blends

1. 用水相沉淀法可制备的 P(AN-co-IA) 共聚物, 用 FTIR 测定出其化学结构。

2. P(AN-co-IA) 对 PEG 与 PAN 有增容作用, 其增容机理是 P(AN-co-IA) 中的 PAN 与 PAN 为物理结合, P(AN-co-IA) 中的 IA 与 PEG 之间既有氢键作用, 也有酯化产生的化学作用。

3. 用溶液共混法制备的 PEG/PAN 高分子“固-固”相变材料形态稳定, 制得的共混材料具有良好的保温性能和热性能, 且可以循环使用, 无泄漏。

4. PEG/PAN 共混物的相变温度和相变焓随着 PEG 含量的增加而逐渐增大, 结晶度随着 PAN 含量的增加而有不同程度的降低。

参 考 文 献

- 1 HE Lihong, LI Wenhui, LI Jingruo, TONG Yu, ZHU Hongzhou, Research progress of polyethylene glycol composite phase change materials, *Materials Review*, **28**(1), 71(2014)
(何丽红, 李文虎, 李菁若, 佟 禹, 朱洪洲, 聚乙二醇复合相变材料的研究进展, *材料导报*, **28**(1), 71(2014))
- 2 Guo Jing, Li Nan, Xu Dezeng, Wang Liyan. Preparation and properties of form-stable phase change materials polyethylene glycol/poly-

amide 6 blends, *Polymer Materials Science and Engineering*, **25**(5), 161(2009)

(郭 静, 李 楠, 徐德增, 王立岩, 形态稳定相变材料聚乙二醇/聚酰胺 6 共混物的制备及性能, *高分子材料科学与工程*, **25**(5), 161(2009)

- 3 LIU Yanyan, YU Houyong, QIN Zongyi, CHEN Long, Enhanced heat conduction in cellulose nanocrystals grafting polyethylene gly-

col as solid-solid phase change materials, *Advanced Materials Research*, **557**, 563(2012)

- 4 ZHANG Lei, ZHU Jiaqun, ZHOU Weibing, WANG Jun, WANG Yan, Thermal and electrical conductivity enhancement of graphite nanoplatelets on form-stable polyethylene glycol/polymethyl methacrylate composite phase change materials, *Energy*, **39**(1), 294(2012)
- 5 MENG Duo, WANG Lijiu, Preparation, Characterization and performance of fatty acid/PMMA shape-stabilized phase change materials, *Journal of Donghua University*, **28**(1), 10(2011)
- 6 XIANG Hnegxue, WANG Shichao, ZHOU Renlin, PENG Cheng, ZHU Meifang, Synthesis and characterization of an environmentally friendly PHBV/PEG copolymer network as a phase change material, *Science China Chemistry*, **56**(6), 716(2013)
- 7 MENG Duo, WANG Lijiu, Characterization and thermal conductivity of modified graphite/fatty acid eutectic/PMMA form-stable phase change material, *Journal of Wuhan University of Technology-Mater.Sci.Ed.*, **28**(3), 586(2013)
- 8 ZHANG Qianqian, SUN Weiguo, ZHANG Yingchen, Preparation and properties of composite polyethylene glycol/expanded graphite/polypropylene phase-change material, *Journal of Textile Research*, **35**(3), 13(2014)

- (张倩倩, 孙卫国, 张迎晨, 聚乙二醇/石墨/聚丙烯复合相变材料的制备及表征, 纺织学报, **35**(3), 13(2014))
- 9 LI Yanshan, WANG Shujun, LIU Hongyan, ZHU Sijia, ZHENG Wangang, LIANG Wenzhang, Preparation and characterization of polyethylene glycol/methyl cellulose form-stable phase change materials, *Petrochemical Technology*, **42**(9), 1023(2013)
(李彦山, 汪树军, 刘红研, 朱思佳, 郑万钢, 梁文章, 聚乙二醇/甲基纤维素定形相变材料的制备及其性能研究, 石油化工, **42**(9), 1023(2013))
 - 10 ZHOU Xiaoming, Preparation and characterization of PEG/MDI/PVA copolymer as solid-solid phase change heat storage materials, *Journal of Applied Polymer Science*, **113**(3), 2041(2009)
 - 11 Ahmet San, Alkan Cemil, Alper Bicer, Synthesis and thermal properties of polystyrene-graft-PEG copolymers as new kinds of solid-solid phase change materials for thermal energy storage, *Materials Chemistry and Physics*, **133**(1), 87(2012)
 - 12 ZHANG Yinping, YANG Rui, JIANG Y, Preparation, thermal properties and applications of shape-stabilized thermal energy storage materials, *Renewable and Sustainable Energy Reviews*, **40**, 237 (2014)
 - 13 Cai YB, Zong X, Zhang JJ, Du JM, The improvement of thermal stability and conductivity via incorporation of carbon nanofibers into electrospun ultrafine composite fibers of lauric acid/polyamide 6 phase change materials for thermal energy storage, *International Journal of Green Energy*, **11**(8), 861(2014)
 - 14 LI Yanshan, WANG Shujun, LIANG Wenzhang, LIU Hongyan, MA Huanqing, MENG Fanbin, Preparation and characterization of polyethylene glycol/ethylcellulose composite phase change thermal energy storage material, *Journal of Functional Materials*, **1**(45), 32 (2014)
(李彦山, 汪树军, 梁文章, 刘红研, 马焕庆, 孟凡宾, 聚乙二醇/乙基纤维素复合相变蓄热材料的制备及性能, 功能材料, **1**(45), 32 (2014))
 - 15 OU Yangqin, CHENG Lu, WANG Haojing, LI Kaixi, Determination of composition of poly (acrylonitrile-co-itaconic acid) by infrared spectroscopy, *Polymer Materials Science & Engineering*, **4**(25), 127(2009)
(欧阳琴, 程 璐, 王浩静, 李开喜, 红外光谱法测定丙烯腈-衣康酸共聚物的组成, 高分子材料科学与工程, **4**(25), 127(2009))
 - 16 WANG Jun, ZHANG Baolin, ZHAO Fangyuan, TU Zhijiang, WANG Ming, Properties of SPIO magnetic resonance imaging contrast agents modified with poly (ethylene glycol) and poly (ethylene imine), *Chinese Journal of Materials Research*, **5**(27), 508(2013)
(王 军, 张宝林, 赵方圆, 涂志江, 王 茗, 聚乙二醇/聚乙烯亚胺修饰的超顺磁性氧化铁磁共振造影剂的性能, 材料研究学报, **5** (27), 508(2013))
 - 17 ZHANG Xiurong, ZHU Dongsheng, GAO Jinwei, WU Shuying, Study on thermal properties of graphitic/paraffin composites as phase change heat storage material, *Chinese Journal of Materials Research*, **3**(24), 332(2010)
(张秀荣, 朱冬生, 高进伟, 吴淑英, 石墨/石蜡复合相变储热材料的热性能研究, 材料研究学报, **3**(24), 332(2010))
 - 18 ZHANG Xiurong, ZHU Dongsheng, GAO Jinwei, WU Shuying, Study on thermal properties of graphitic/paraffin composites as phase change heat storage material, *Chinese Journal of Materials Research*, **3**(24), 332(2010)
(徐 斌, 楼白杨, 刘春雷, 董方亮, 新型纳米铜/石蜡/膨胀石墨温敏复合材料的制备及性能, 材料研究学报, **1**(26), 101(2012))